

2023 여름 세미나

2023.07.07



Sogang University

Vision & Display Systems Lab, Dept. of Electronic Engineering



Presented By

양창희

Outline

- Intro
 - What is human pose estimation
 - How to do 2d pose estimation
 - How to do 3d pose estimation
 - How to do 3d mesh estimation
- 2023 CVPR Human paper
 - Implicit 3D Human Mesh Recovery using Consistency with pose and shape from Unseen-view
 - PoseExaminer: Automated Testing of Out-of-distribution Robustness in Human Pose and Shape estimation
 - A Characteristic Function-based Method for Bottom-up Human Pose Estimation
 - Human Pose Estimation in Extremely Low-Light Conditions
 - Scene-aware Egocentric 3D Human Pose Estimation
- Conclusion

Intro

- What is human pose estimation

- 2D pose estimation

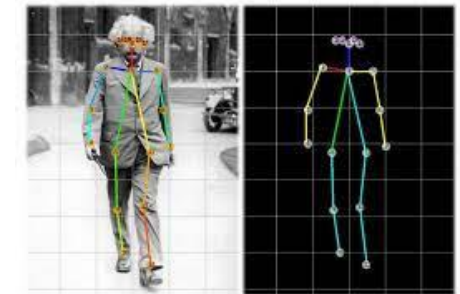
- Image안에 존재하는 사람의 keypoint를 추정하는 task
 - ⊛ Keypoint (Ex) head, neck, ankle, ...)
- Top-down, bottom-up approach 존재

- 3D pose estimation

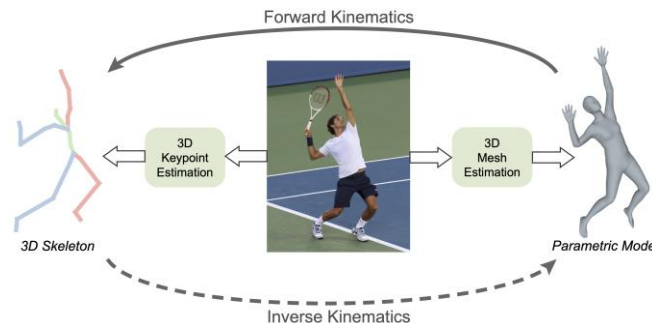
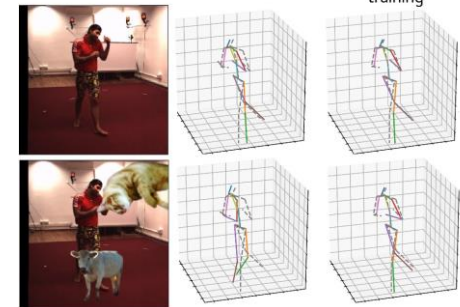
- Image안에 존재하는 사람의 world coordinate를 구하는 task
- Top-down, bottom-up approach, Temporal, 2d to 3d 존재

- 3D mesh estimation

- Image안에 존재하는 사람의 world coordinate mesh를 구하는 Task
- Top-down, bottom-up, 2d to mesh, temporal, optimization 등 존재



Input image Baseline With VOC-augmented training



Intro

- How to do 2d pose estimation

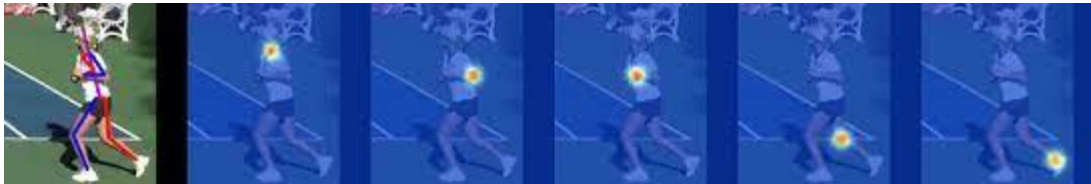
- Regression, Heatmap approach

- Regression 방법은 말 그대로 즉시 pose를 찾는 기술을 보여줌

- ※ 대부분 resnet50 backbone을 거쳐서 바로 회귀하는 방법을 이용함

- ✓정확도 측면에서 성능이 떨어져서 사용하지 않는 기술임

- Heatmap은 가우시안 분포를 이용해 만들어 inference할 때 softargmax를 이용해 joint의 위치를 구함



- ※ 대부분의 2d pose에서 사용하는 기술로 regression보다 높은 성능을 보여줌

- 최근에 들어서 메인 conference 마다 하나씩 개제가됨

- 그만큼 Accept되기 힘든 분야이며 성능을 이끌어내기 힘들

Intro

- How to do 3d pose estimation

- Regression, Heatmap, Temporal, 2d to 3d approach

- Regression: 2d pose와 마찬가지로 잘 사용되지 않는 기술임

- ※ 속도 측면으로 가끔 사용함

- Heatmap: 대부분의 3D pose 논문에서 사용함

- ※ 3D heatmap등을 사용하면서 성능을 이끌어냄

- Temporal: 비디오 데이터에서 사용하는 방법으로 시간 데이터를 이용해 3D joint를 얻어냄

- ※ 3D Heatmap과 성능 비교를 했을 때 엄청난 성능을 이끌어내지는 못함

- ※ Model 크기 제한도 존재함

- 2D to 3D: Temporal의 단점을 보완하기 위해서 나온 프레임워크 모델이라고 생각 가능

- ※ 2D pose를 구하고 이를 기반으로 3D Pose를 이끌어내는 방법임

- ※ 대표적인 논문

- ✓3D human pose estimation in video with temporal convolutions and semi-supervised training 가 있음

Intro

- How to do 3d mesh estimation

- Regression, Heatmap, Temporal, 2d to mesh, optimization

- Regression(model-based): 대부분 사용하는 방식

- ※ SMPL parameter를 추정해야 되다보니 heatmap보다 더욱 활용됨

- Heatmap(model-free): I2L-Mesh Net

- ※ I2L-Mesh Lixel heatmap 방식을 이용함

- Temporal(resnet50 backbone): resnet50의 latent space를 이용해 구함

- ※ 시간 효율상 resnet50 backbon을 이용해서 구함

- 2D to mesh: pose2mesh

- ※ 2D pose를 구한후 3d joint를 구한 다음 mesh를 구하는 방식임

- Optimization (EFT, SPIN 등)

- ※ 대부분의 pseudo gt로 사용하기 위해서 적용하는 방식이면서 성능 개선이 이뤄져 사용함

2023 CVPR Human papaer

- Why choose this paper

- CVPR 2023 논문 총 5개 간단하게 review를 목표로함

- 해당 논문들을 고른 이유는 흥미로운 concept의 모델이 많아서 고름

- Implicit 3D Human Mesh Recovery using Consistency with pose and shape from Unseen-view

- ※ Viewing point를 바꿔서 optimization을 진행

- PoseExaminer: Automated Testing of Out-of-distribution Robustness in Human Pose and Shape estimation

- ※ 강화학습을 이용해 새로운 evaluation metric을 제안

- A Characteristic Function-based Method for Bottom-up Human Pose Estimation

- ※ Heatmap approach의 문제점을 제시하면서 해결 방안을 보임

- Human Pose Estimation in Extremely Low-Light Conditions

- ※ 극도로 어두운 이미지에서의 인간 자세 추정을 목표로함

- Scene-aware Egocentric 3D Human Pose Estimation

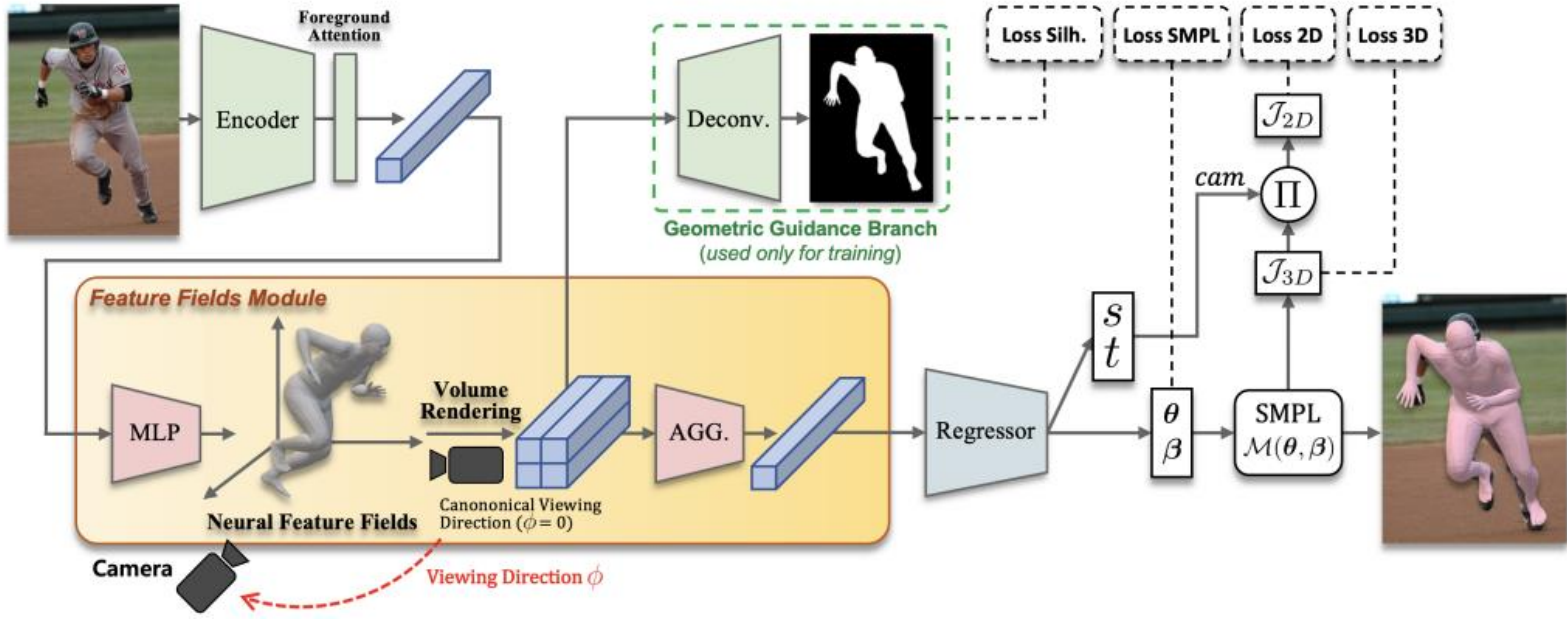
- ※ Egocentric dataset을 만듦과 동시에 ego pose estimation를 진행함

2023 CVPR Human papaer

• Implicit 3D Human Mesh Recovery using Consistency with pose and shape from Unseen-view

• 문제점 제시

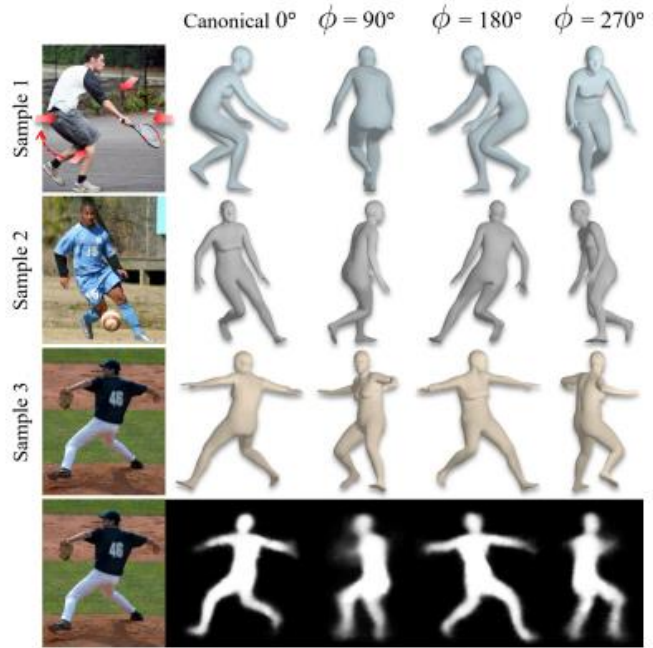
- 기존의 human Mesh recovery 논문들은 촬영된 방향만을 고려한다.
- 이를 개선하면서 optimization을 할 수 있도록 만든다.



2023 CVPR Human papaer

- PoseExaminer: Automated Testing of Out-of-distribution Robustness in Human Pose and Shape estimation

- 결과



Method	3DPW			
	MPJPE ↓	PA-MPJPE ↓	PVE ↓	
Temporal	HMMR [20]	116.5	72.6	139.3
	DSD [50]	-	69.5	-
	Arnab <i>et al.</i> [2]	-	72.2	-
	Doersch <i>et al.</i> [11]	-	74.7	-
	VIBE [23]	93.5	56.5	113.4
	TCMR [8]	95.0	55.8	111.3
	MPS-Net [55]	91.6	54.0	109.6
Frame-based	HMR [19]	130.0	76.7	-
	GraphCMR [26]	-	70.2	-
	SPIN [25]	96.9	59.2	116.4
	PyMAF [62]	92.8	58.9	110.1
	I2L-MeshNet [39]	100.0	60.0	-
	ROMP [49]	89.3	53.5	105.6
	HMR-EFT [17]	-	54.2	-
	PARE [24]	82.9	52.3	99.7
	ImpHMR (Ours)	81.8	49.8	96.4
ImpHMR (Ours) w. 3DPW	74.3	45.4	87.1	

2023 CVPR Human papaer

- Implicit 3D Human Mesh Recovery using Consistency with pose and shape from Unseen-view

- 문제점 제시

- Human pose and shape estimation 모델들이 훈련 데이터 시나리오에서 너무 피팅 되어 있어 문제를 야기
 - Evaluation metric이 평균화 되어 있어서 실패 case를 제대로 못찾음

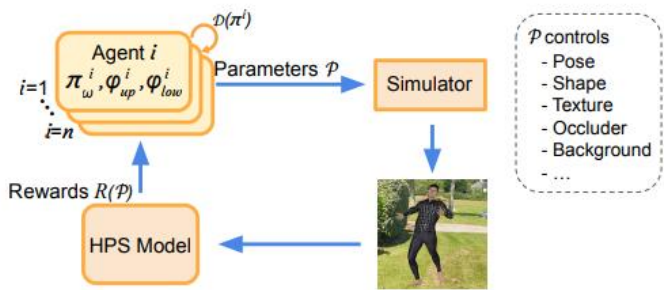
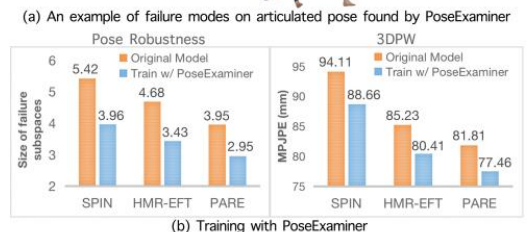
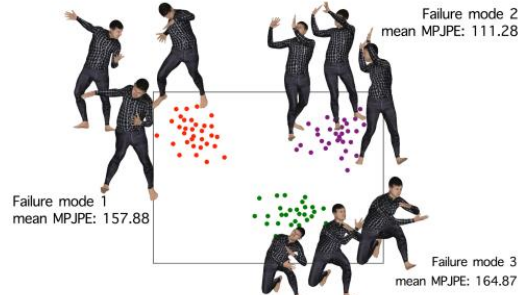


Figure 2. **PoseExaminer model pipeline.** Multiple RL agents collaborate to search for worst cases generated by a policy π_ω and find subspaces boundaries defined by ϕ_{up} and ϕ_{low} . The human simulator is conditioned on parameters generated by the agents. m images are then generated for each agent and are used to test a given HPS method. The prediction error of the HPS model serves as the reward signal to update the policy parameters of agents.

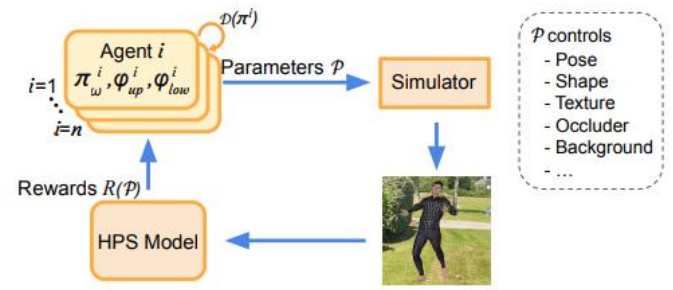


2023 CVPR Human papaer

• Implicit 3D Human Mesh Recovery using Consistency with pose and shape from Unseen-view

• Evaluation 방법

- P controls을 통해서 새로운 이미지를 만들고 human pose and shape model에 성능을 평가해 어떤 pose, shape이 잘어나오는지 판단이 가능함
- 또한 이를 이용해 augmentation 느낌으로 훈련도 가능함
 - ☼ 대부분의 모델이 성능이 개선된것을 볼 수 있음
- Shape, pose를 만들 때 latent space를 강화학습을 통해 훈련을 진행함



	Robustness (PoseExaminer)		ID dataset (3DPW)			OOD dataset (cAIST)		Extreme poses (cAIST-EXT)	
	Succ. Rate↓	Region Size↓	MPJPE↓	PA-MPJPE↓	PVE↓	MPJPE↓	PA-MPJPE↓	MPJPE↓	PA-MPJPE↓
SPIN [20]	95.0%	5.417	94.11	57.54	111.12	108.09	68.59	133.65	81.03
+ PE (Ours)	76.6% (-18.4)	3.964 (-1.435)	88.66 (-5.45)	54.34 (-3.20)	103.94 (-7.18)	98.88 (-9.21)	65.28 (-3.31)	120.98 (-12.67)	76.82 (-4.21)
HMR-EFT [15]	84.1%	4.675	85.23	51.88	107.88	98.55	66.01	122.19	78.39
+ PE (Ours)	63.6% (-20.5)	3.429 (-1.246)	80.41 (-4.82)	49.15 (-2.73)	101.43 (-6.45)	88.53 (-10.02)	64.00 (-2.01)	112.78 (-9.41)	75.15 (-3.24)
PARE [18]	75.3%	3.948	81.81	50.78	102.27	99.15	62.43	117.45	72.68
+ PE (Ours)	48.4% (-26.9)	2.953 (-0.995)	77.46 (-4.35)	48.01 (-2.77)	94.86 (-7.41)	87.44 (-11.71)	59.80 (-2.63)	109.82 (-7.63)	70.73 (-1.95)

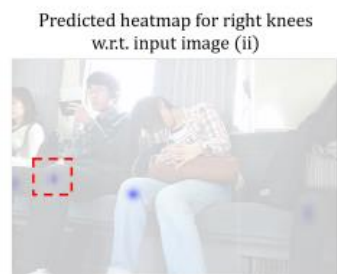
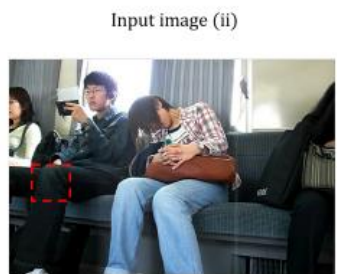
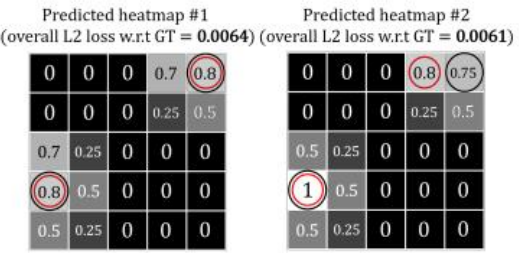
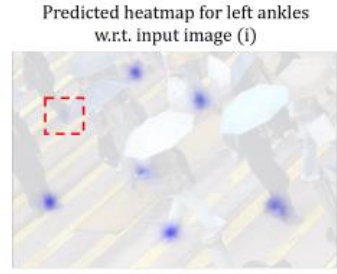
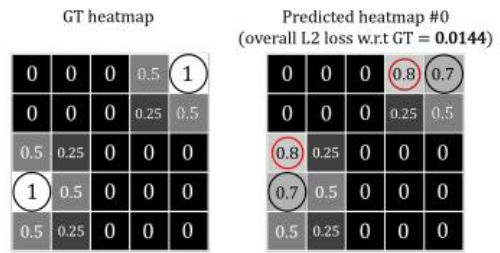
Table 4. **Fine-tuning with PoseExaminer.** ‘PE’ is short for PoseExaminer. Despite being synthetic, fine-tuning on the failure modes discovered by PoseExaminer can significantly improve the robustness and real-world performance of all methods on all benchmarks.

2023 CVPR Human papaer

- A Characteristic Function-based Method for Bottom-up Human Pose Estimation

- 문제점 제기

- Heatmap Approach의 문제점을 제시함



(a)

(b)

- 아래 그림처럼 loss가 줄어드는 방향이 적절한 pose 위치를 찾지 못한다고 언급하고 있음

2023 CVPR Human papaer

- A Characteristic Function-based Method for Bottom-up Human Pose Estimation

- 해결방안

- 아래 수식과 같은 Heatmap의 characteristic function을 만듦

$$\varphi_D(\mathbf{t}) = E_{\mathbf{x} \sim D}[e^{i\langle \mathbf{t}, \mathbf{x} \rangle}] = \int_{\mathbb{R}^N} e^{i\langle \mathbf{t}, \mathbf{x} \rangle} dD$$

- 이 수식은 푸리에 변환을 이용해서 만든 수식임

- ⚡ 왜 푸리에 변환을 사용했나?

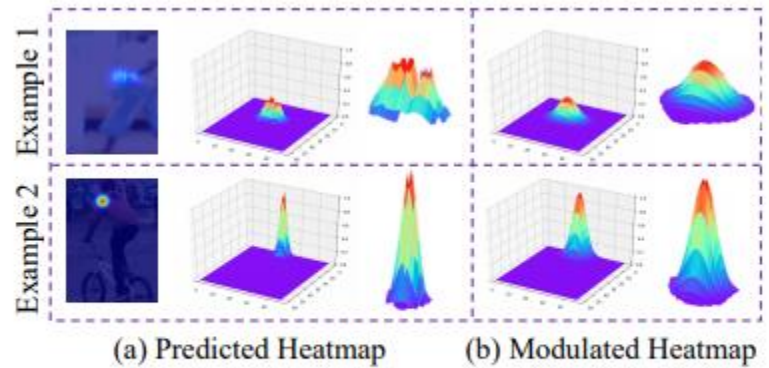
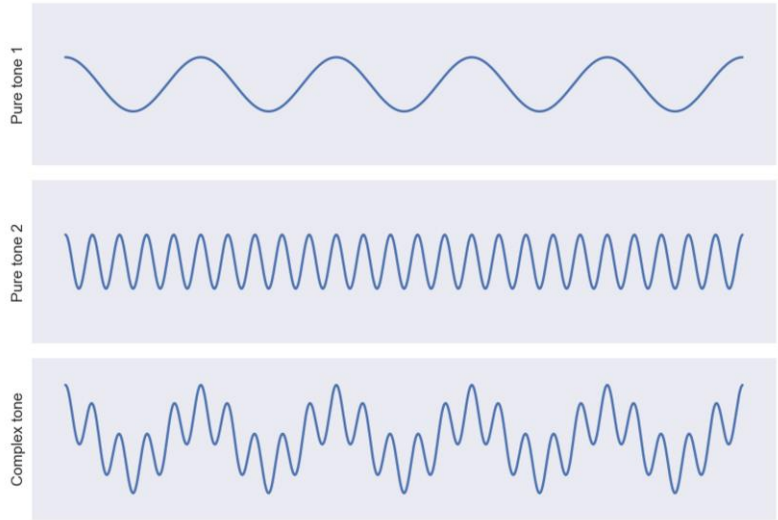
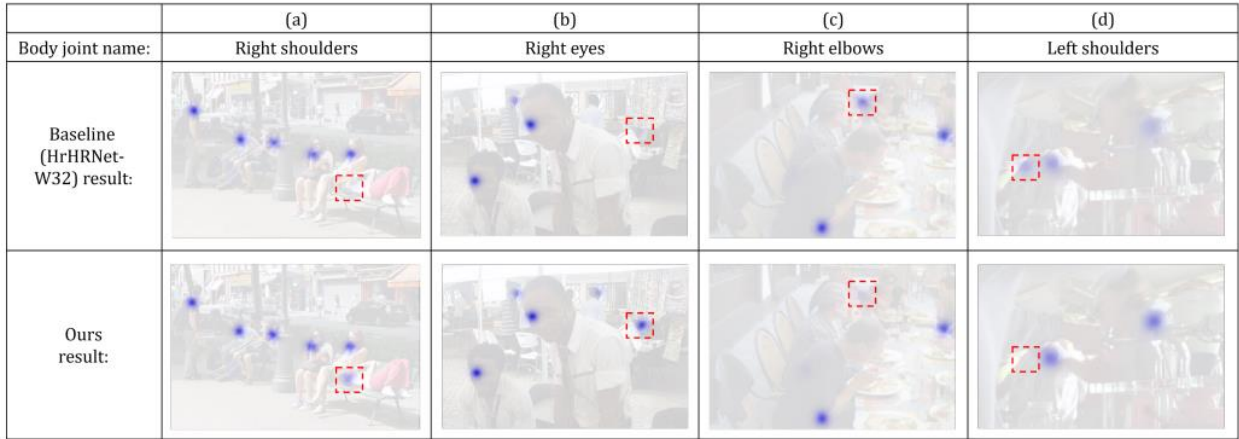


Figure 3: Illustration of heatmap distribution modulation. (a) Predicted heatmap; (b) Modulated heatmap distribution.

2023 CVPR Human papaer

- A Characteristic Function-based Method for Bottom-up Human Pose Estimation

- 결과



Method	Venue	Backbone	Input size	AP	AP ⁵⁰	AP ⁷⁵	AP ^M	AP ^L
HGG [16]	ECCV 2020	Hourglass	512	68.3	86.7	75.8	-	-
Point-Set Anchors [38]	ECCV 2020	HRNet-W48	640	69.8	88.8	76.3	-	-
DEKR [11]	CVPR 2021	HRNet-W48	640	72.3	88.3	78.6	68.6	78.6
SWAHR [22]	CVPR 2021	HrHRNet-W32	512	71.4	88.9	77.8	66.3	78.9
SWAHR [22]	CVPR 2021	HrHRNet-W48	640	73.2	89.8	79.1	69.1	79.3
PoseTrans [15]	ECCV 2022	HrHRNet-W32	512	71.2	88.2	77.2	66.5	78.0
HrHRNet [6]	CVPR 2020	HrHRNet-W32	512	69.9	87.1	76.0	65.3	77.0
+ Ours		HrHRNet-W32	512	71.8(↑1.9)	88.9	78.1	67.3	78.4
HrHRNet [6]	CVPR 2020	HrHRNet-W48	640	72.1	88.4	78.2	67.8	78.3
+ Ours		HrHRNet-W48	640	73.7(↑1.6)	89.9	79.6	69.6	79.5

2023 CVPR Human papaer

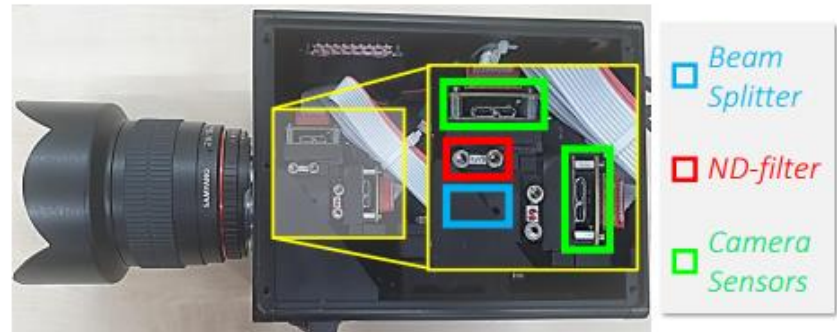
- Human Pose Estimation in Extremely Low-Light Conditions

- 문제제기

- 극도로 어두운 이미지에서의 인간 자세 추정의 연구가 어려움
- 데이터 수집의 어려움
- 어두운 이미지에서의 자세 추정 및 annotation이 어려움

- 해결 방안

- 카메라에서 어두운 이미지 + 밝은 이미지를 만들고 밝은 이미지에서만 annotation을 진행함

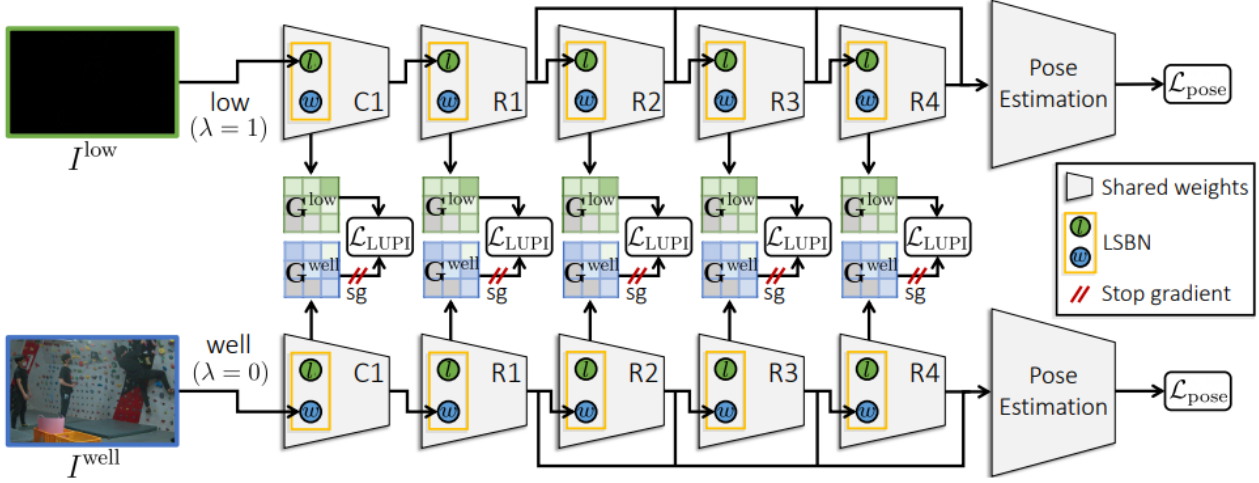


2023 CVPR Human papaer

• Human Pose Estimation in Extremely Low-Light Conditions

• 해결 방안

- Teacher & Student Model을 설계함



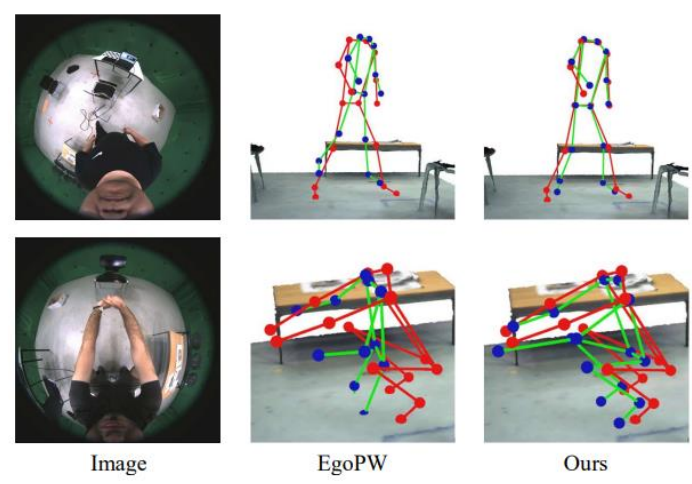
	Training data			AP@0.5:0.95					Param. (M)	Latency (sec)
	LL	WL	Enhanced-LL	LL-N	LL-H	LL-E	LL-A	WL		
Baseline-low	✓			32.6	25.1	13.8	24.6	1.6	27.37	1.07
Baseline-well		✓		23.5	7.5	1.1	11.5	68.8	27.37	1.07
Baseline-all	✓	✓		33.8	25.4	<u>14.3</u>	25.4	57.9	27.37	1.07
LLFlow + Baseline-all		✓	✓	35.2	20.1	8.3	22.1	65.1	66.23	3.34
LIME + Baseline-all		✓	✓	38.3	25.6	12.5	26.6	63.0	27.37	1.65
DANN	✓	✓		34.9	24.9	13.3	25.4	58.6	27.37	1.07
AdvEnt	✓	✓		35.6	23.5	8.8	23.8	62.4	27.37	1.07
Ours	✓	✓		42.3	34.0	18.6	32.7	<u>68.5</u>	27.53	1.07

2023 CVPR Human paper

• Scene-aware Egocentric 3D Human Pose Estimation

• 문제점 제기

- 대부분의 human pose estimation의 경우 egocentric에서 진행하지 않고 일반적인 이미지에서 만 진행함
 - ※ 이때의 문제점은 XR, VR, AR과 같은 기기에서 pose estimation이 적절히 되기 어렵다는 점이 있음
- 또한 지금까지의 egocentric dataset들은 depth에 대한 정보가 없기 때문에 정확한 pose 추정이 어렵다고 언급함
 - ※ Dataset으로 depth에 대한 정보를 포함한 Dataset을 구축함



2023 CVPR Human papaer

• Scene-aware Egocentric 3D Human Pose Estimation

▪ 해결방안

- Depth 정보를 포함하는 Dataset을 만듦과 동시에 scene에 대한 depth estimation model을 만들어
- 3D pose의 대략적인 위치를 찾을 수 있는 모델을 만듦

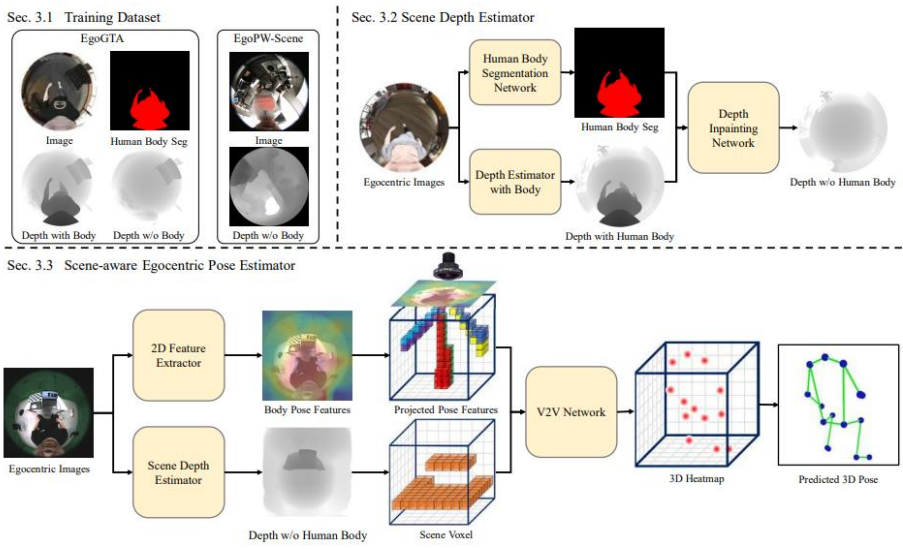


Figure 2. Overview of our method. We first render synthetic training dataset EgoGTA and in-the-wild training dataset EgoPW-Scene. Both datasets contain egocentric depth maps for subsequent training process (Sec. 3.1). Next, we train an egocentric scene depth estimator that predicts a depth map without the human body and a depth inpainting network (Sec. 3.2). Finally, we combine the 2D body pose features and scene depth map into a common voxel space. The 3D body pose heatmaps are regressed from the voxel space with a V2V network and the final pose prediction is obtained with soft-argmax (Sec. 3.3).

Method	MPJPE	PA-MPJPE
Our test dataset		
Mo ² Cap ² [39]	200.3	121.2
<i>x</i> R-egopose [32]	241.3	133.9
EgoPW [35]	189.6	105.3
Ours	118.5	92.75
Method	PA-MPJPE	BA-MPJPE
Wang <i>et al.</i>'s dataset [36]		
Mo ² Cap ² [39]	102.3	74.46
<i>x</i> R-egopose [32]	112.0	87.20
EgoPW [35]	81.71	64.87
Ours	76.50	61.92
Mo²Cap² test dataset [39]		
Mo ² Cap ² [39]	91.16	70.75
<i>x</i> R-egopose [32]	86.85	66.54
EgoPW [35]	83.17	64.33
Ours	79.65	62.82

2023 CVPR Human papaer

• Conclusion

▪ 최근에 들어서 다양한 문제제기를 하는 논문이 증가함

- 이 말의 즉슨 2D, 3D, Mesh등 대부분의 model들의 성능이 어느정도 적절히 달성했다는 것을 의미함.

※ 어느정도 성능이 달성했음으로 다양한 문제제기를 통해 연구를 진행함

▪ 발전 가능성이 높은 연구 분야 [내 생각]

- Egocentric pose estimation

※ Apple의 vr기기가 새로 생김과 동시에 해당 분야 발전 가능성이 높고 VR기기에 들어갈 카메라 모듈이 대부분 Egocentric이기 때문에 충분히 고려해볼 만한 분야임

- 극도로 어려운 환경에서의 pose estimation 개선

※ 이번에 처음 문제제기가 됨과 동시에 Dataset이 만들어짐 VR등 다양한 환경에서 고려해야하기 때문에 연구하기 좋은 분야

✓하지만 기존의 모델 성능을 개선 시키면서 진행해야 하기 때문에 어려운 task가 될 수 있음

▪ Complex pose dataset!

- 최근 들어서 요가와 같은 어려운 포즈 데이터 셋이 생기기 시작했음 이쪽을 target으로 해도 좋음!

※ 3D Human Pose Estimation via Intuitive Physics [2023 CVPR accept]